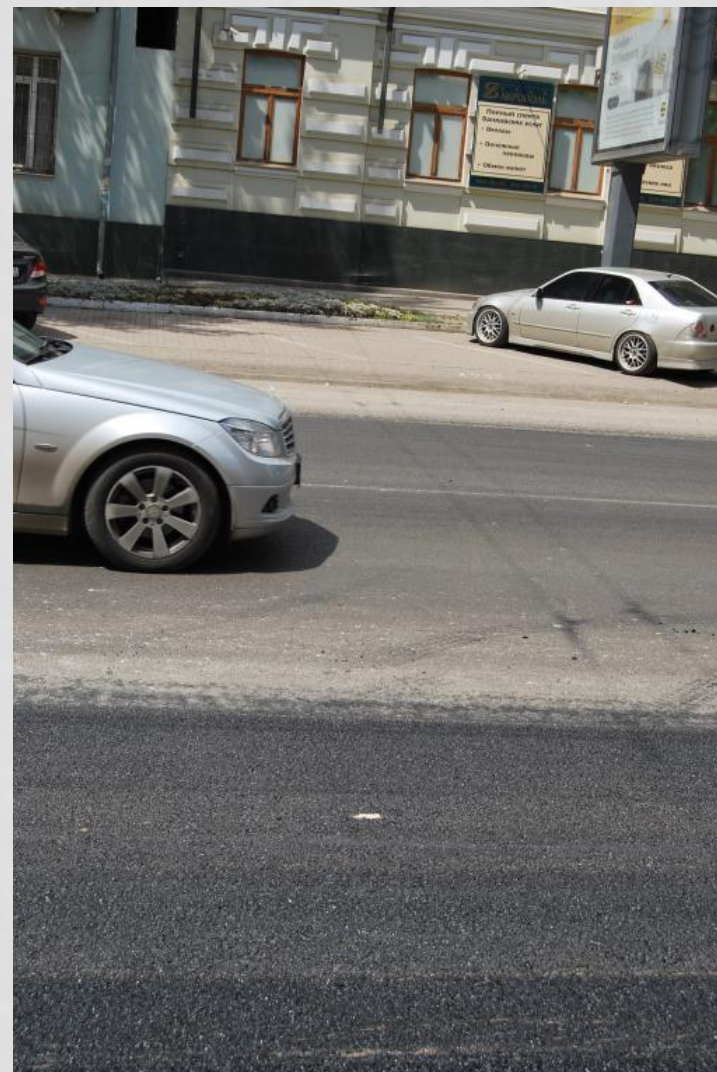
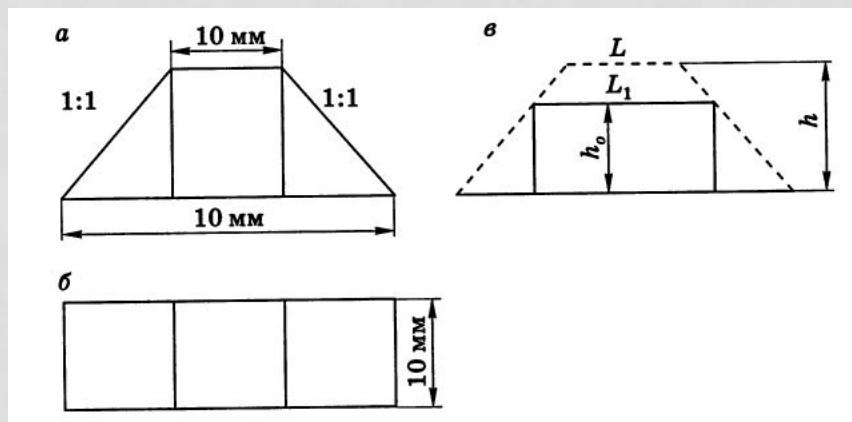


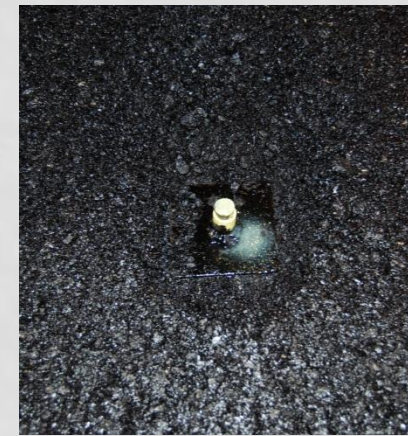
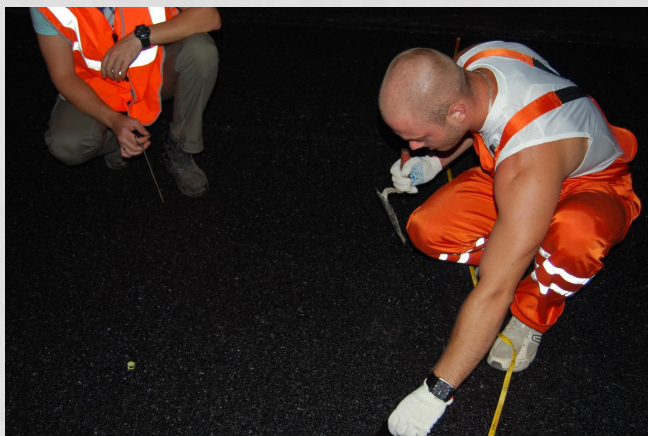
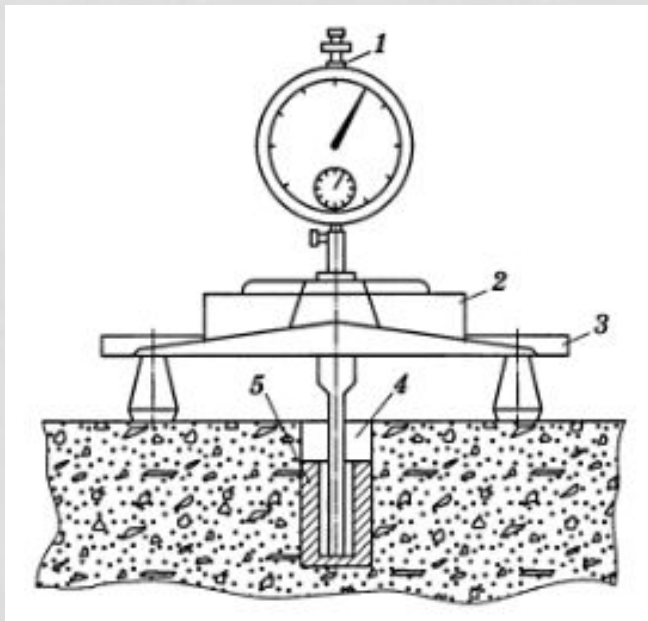
МЕТОДЫ И ПРИБОРЫ ОЦЕНКИ ИЗНОСА ДОРОЖНЫХ ПОКРЫТИЙ



ЗАКЛАДКА РЕПЕР-МАРОК

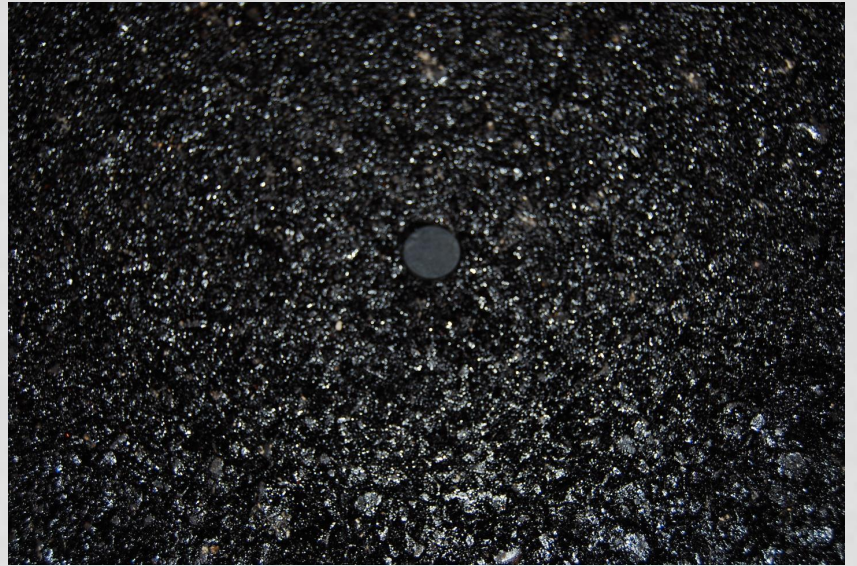


ЗАКЛАДКА РЕПЕР-СТАКАНЧИКОВ









УЧЕТ ДВИЖЕНИЯ



МЕТОДЫ УЧЕТА ДВИЖЕНИЯ

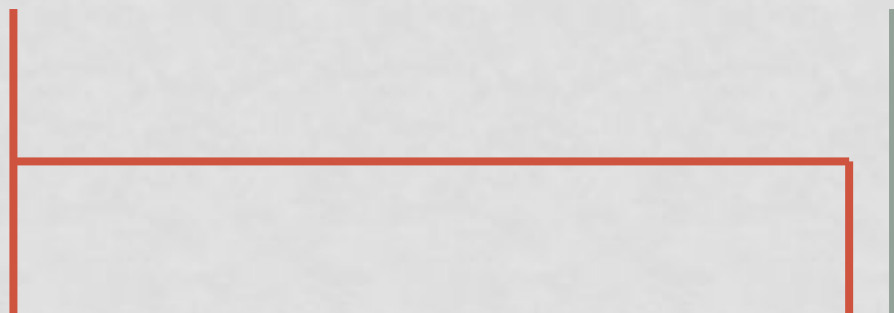
Выборочный

Сплошной

Визуальный

Автоматический

Контактно-механический
Магнитно-индуктивный
Зондирующих импульсов



КОНТАКТНО-МЕХАНИЧЕСКИЕ

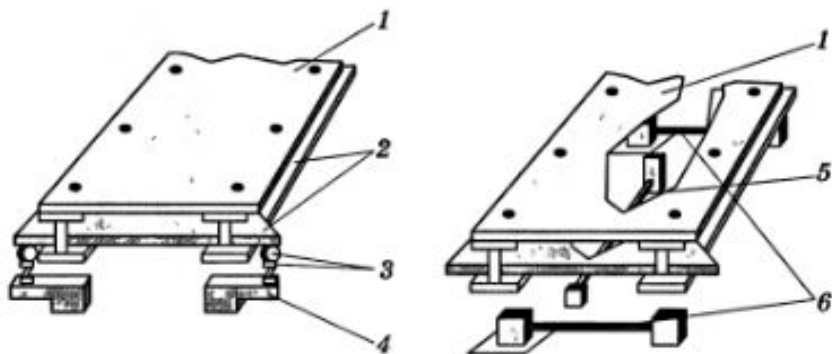
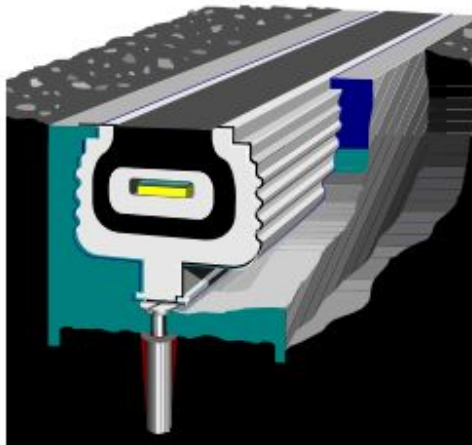
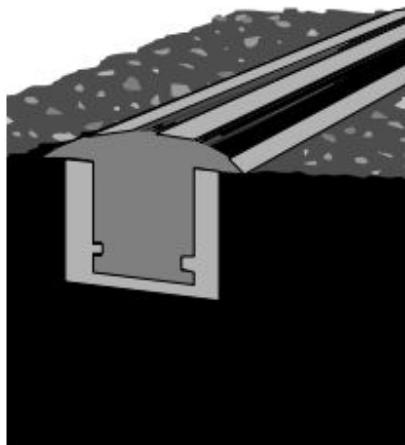
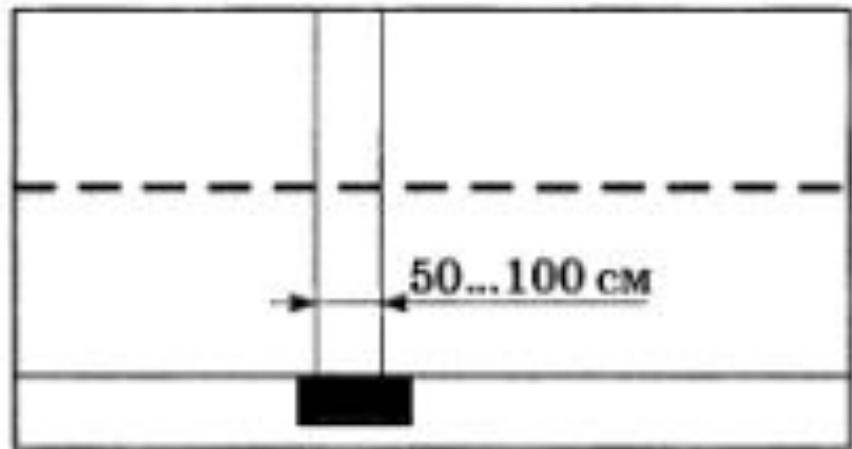
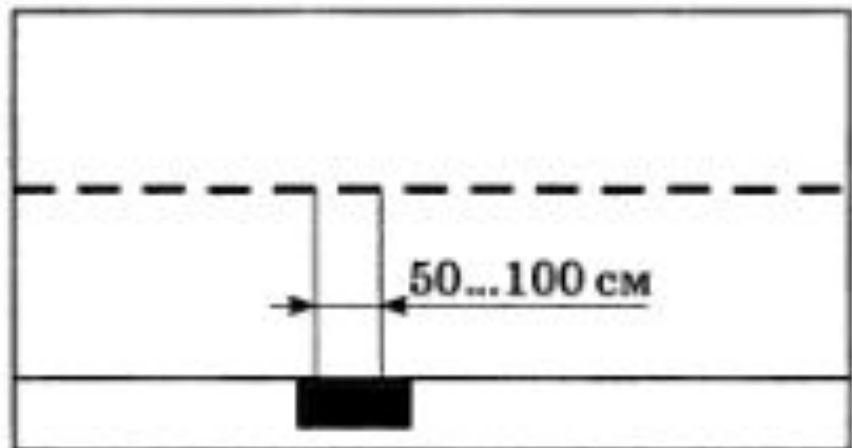


Рис. 7.2. Схема полевых весов с платформами:
1 — платформа; 2 — рама весов; 3 — шаровая опора; 4 — взвешивающий элемент; 5 — продольный стабилизатор; 6 — поперечный стабилизатор



КОНТАКТНО-НАЖИМНЫЕ

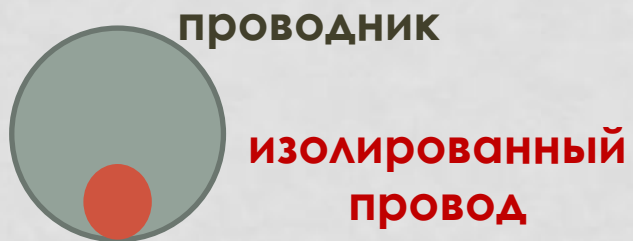


Пневматические

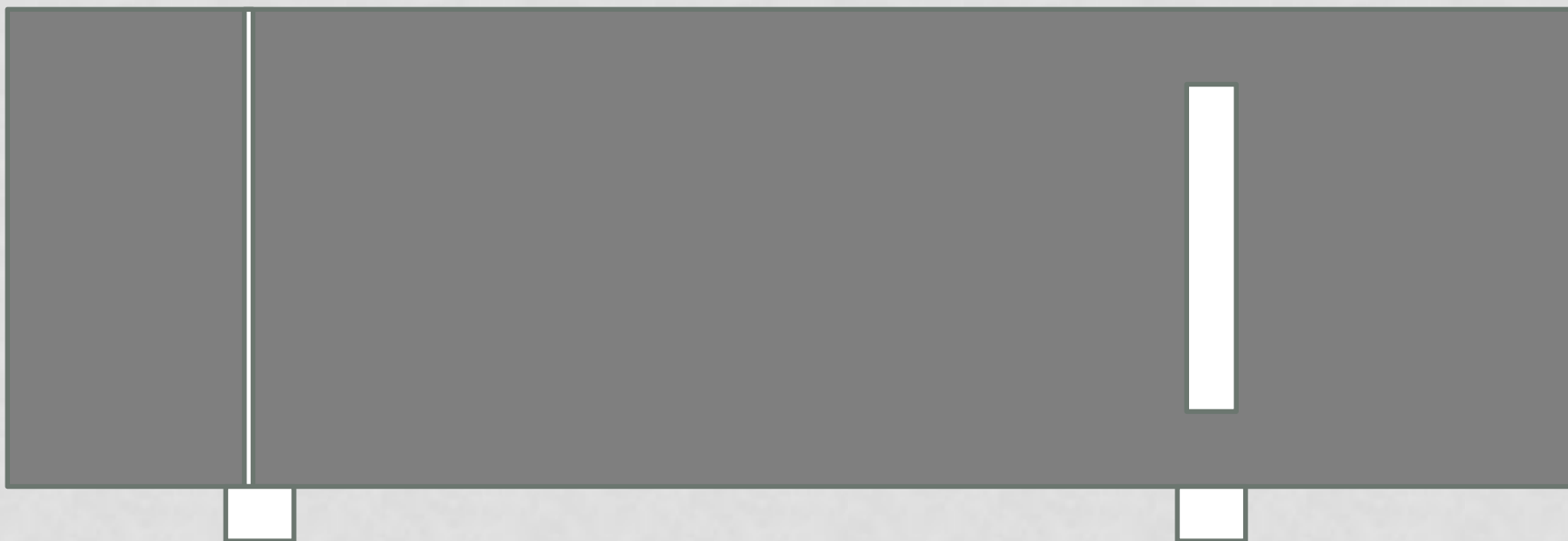
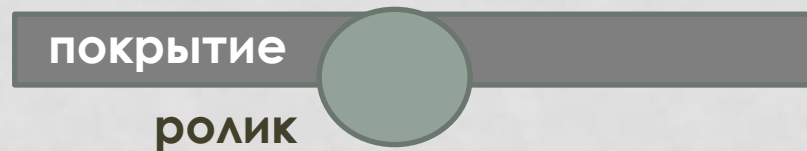


Marksman 420 Tube Counter

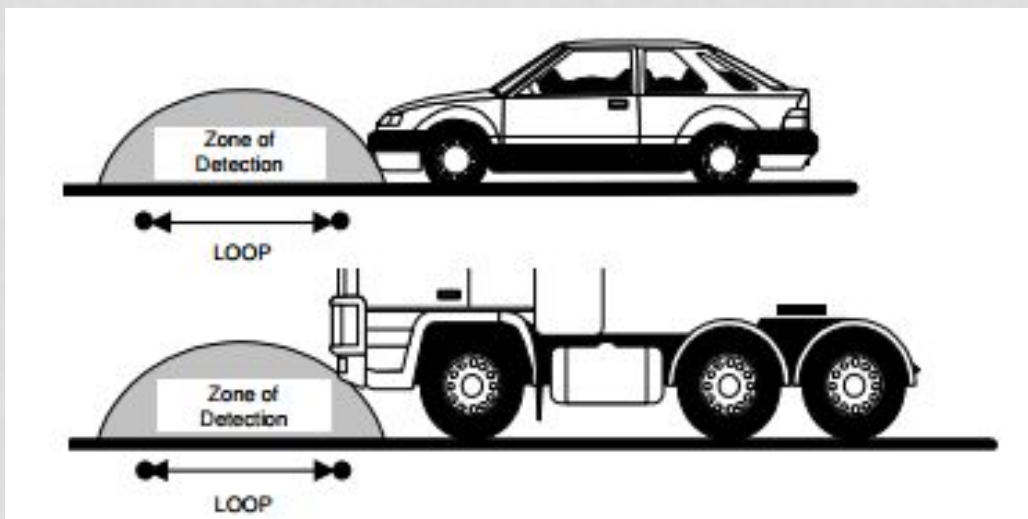
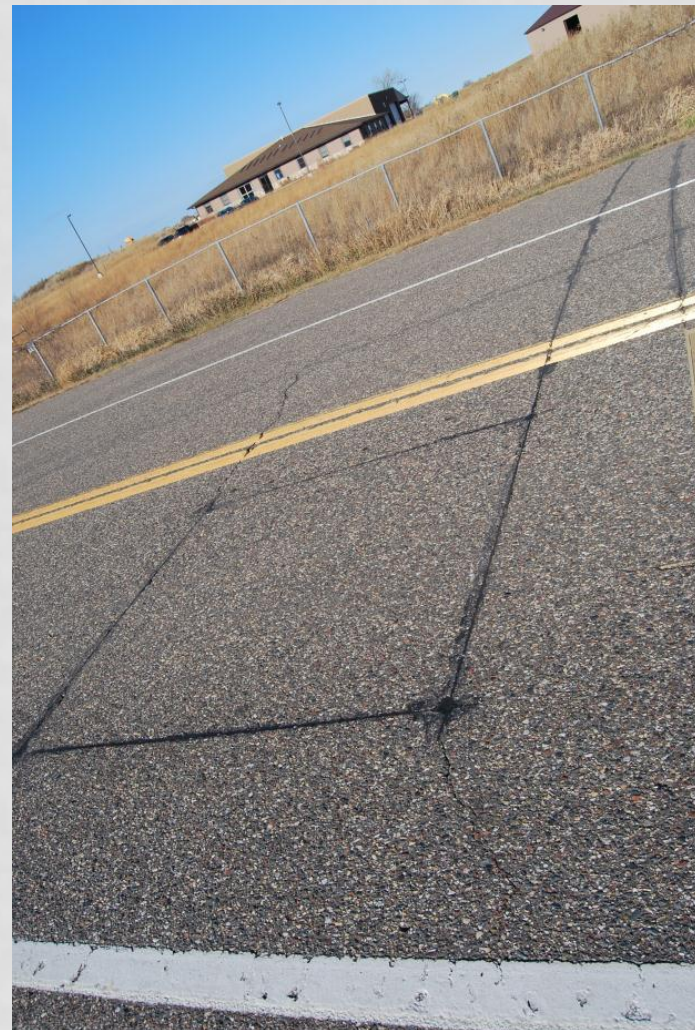
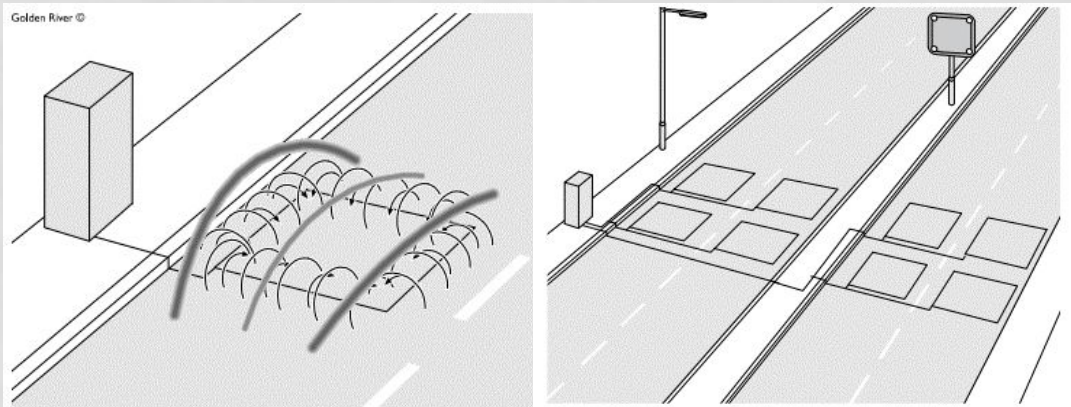
Вибрационный трибоэлектрический детектор

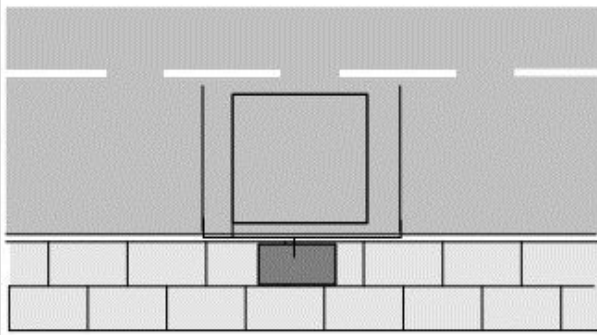


Роликовый детектор

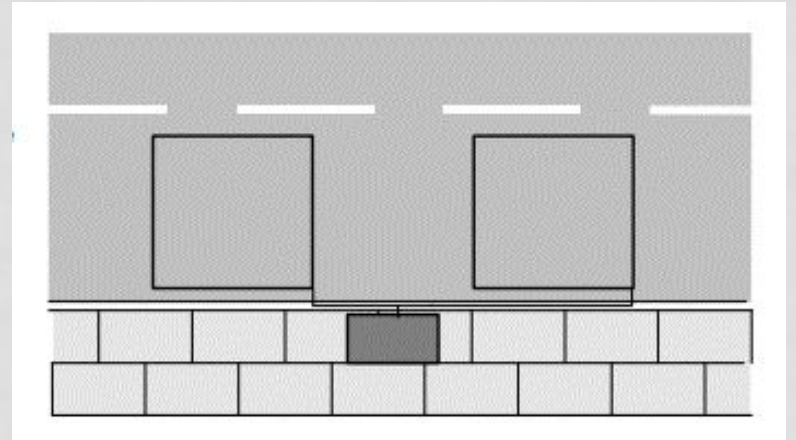
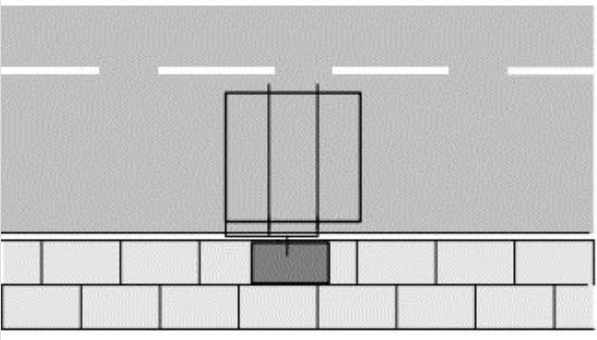
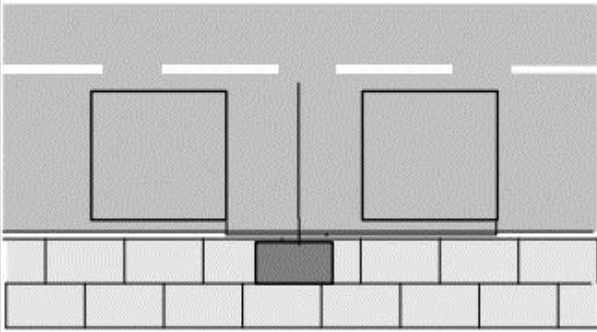


МАГНИТНО-ИНДУКТИВНЫЕ





Marksman 660



Методы зондирующих импульсов

Лучевого барьера

Локационные

Фотоэлектрические

С использованием принципа эхолота

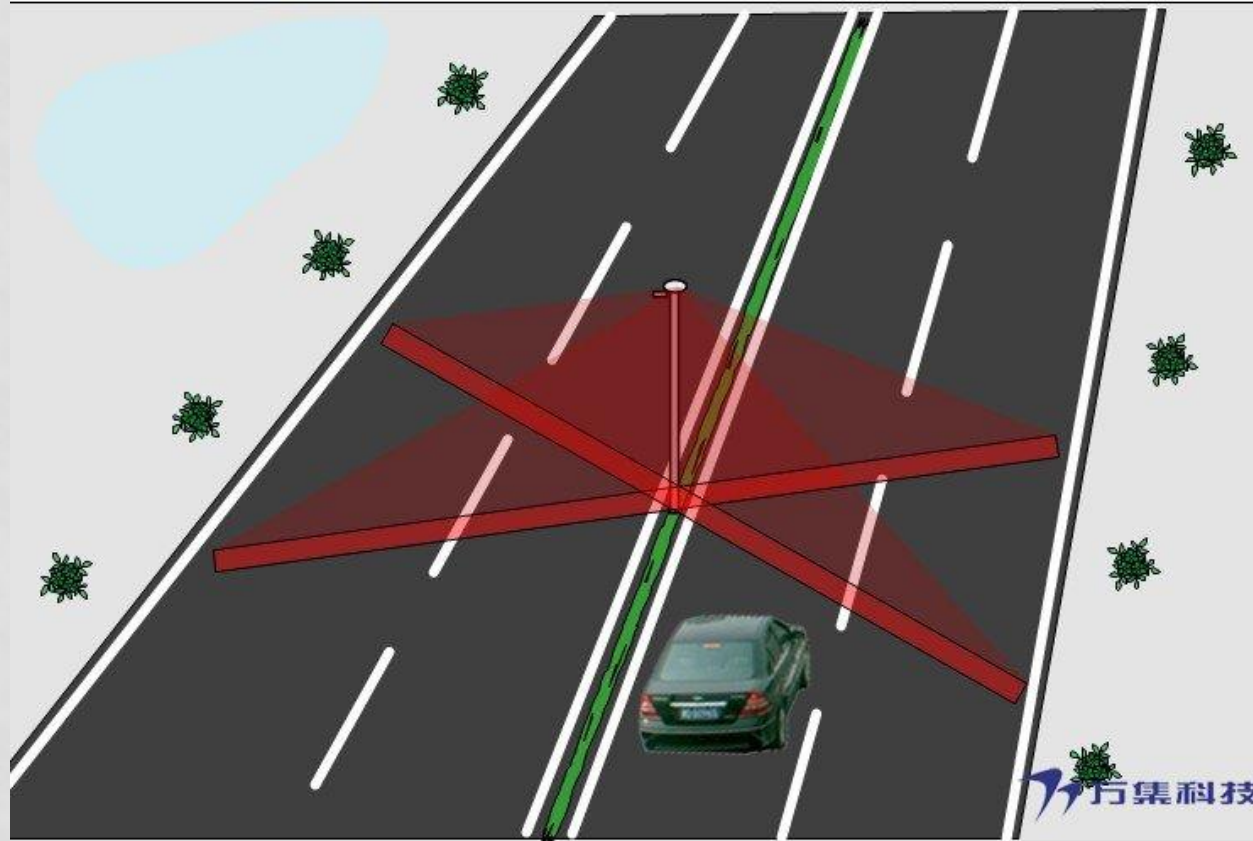
С использованием эффекта Доплера

Инфракрасные

Ультразвуковые

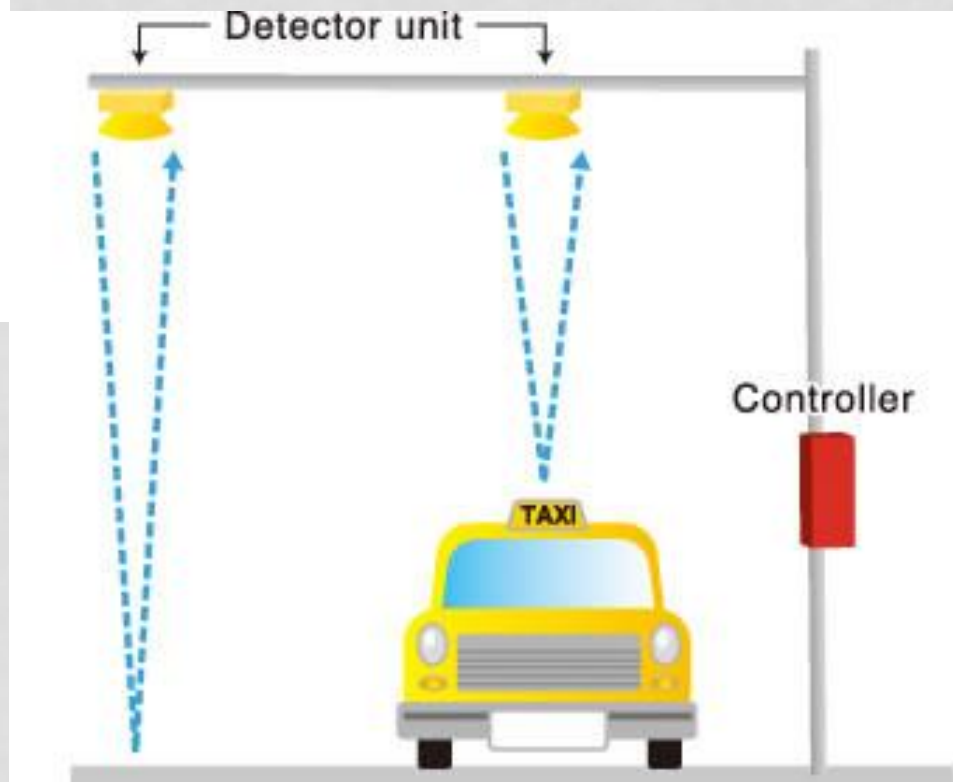
Радиолокационные (радары)

Лучевой барьер

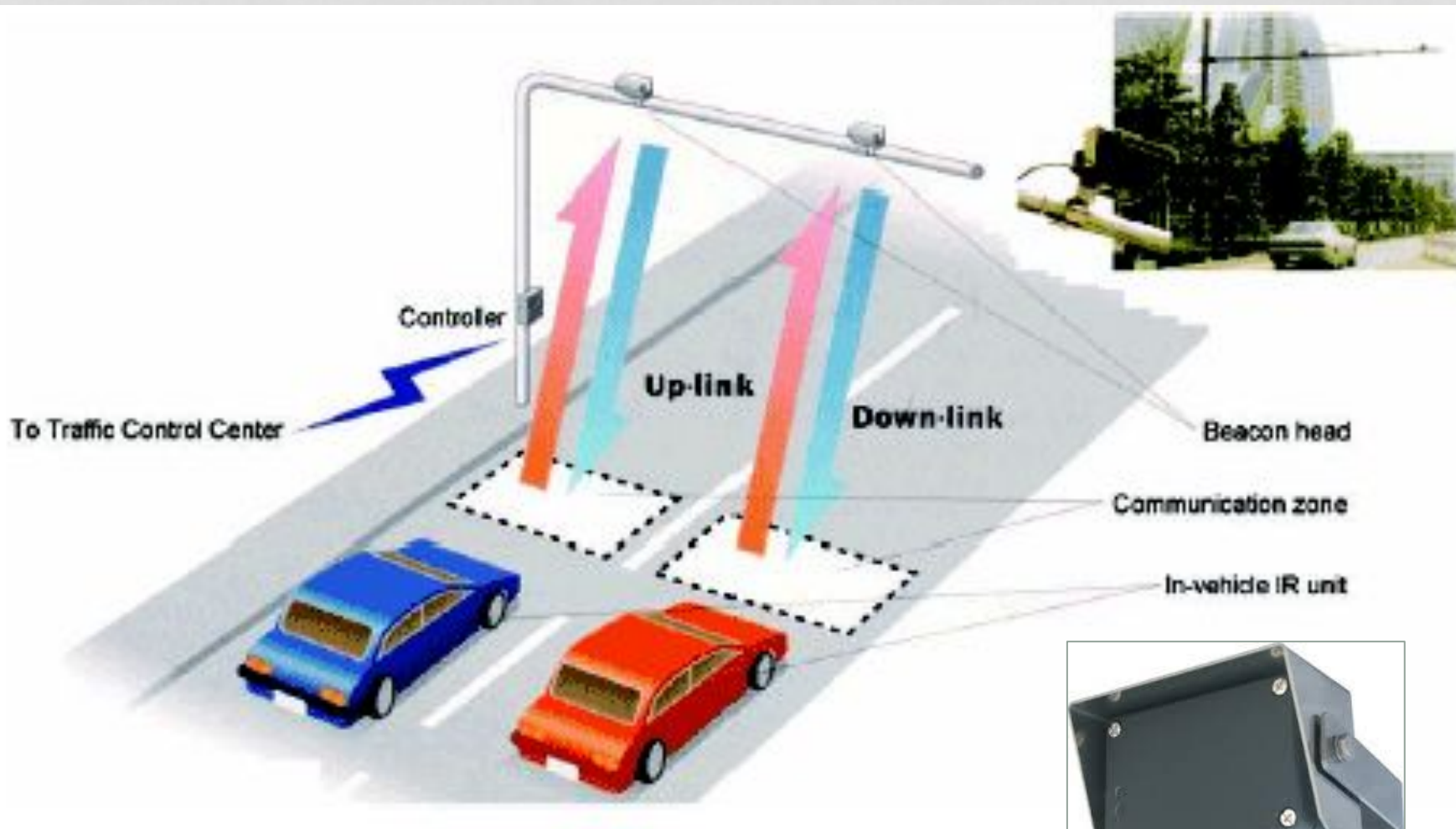


ПУДП 1

С использованием принципа эхолота



С использованием эффекта Доплера



Детектор инфракрасного излучения

